

よりよい大気をめざして 自動車と燃料のさらなる挑戦

JCAP第4回成果発表会

オイルWG報告

- 後処理装置に及ぼすオイルの影響 -

2005年6月1日





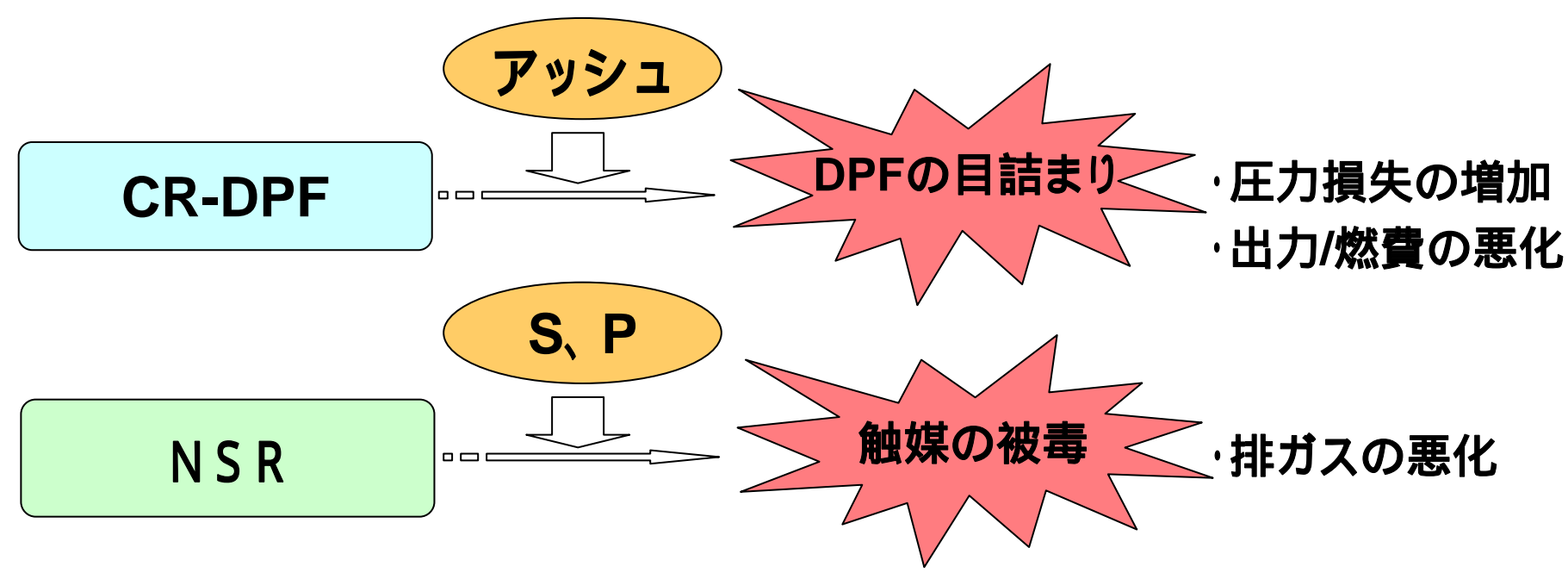
報告内容

- 1.研究の目的と全体計画
- 2.連続再生式DPF(CR-DPF)に及ぼすオイルアッシュの影響検討結果
- 3.NOx吸蔵還元触媒(NSR)に及ぼすオイル S、Pの影響検討結果(中間報告)
- 4.今後の計画



研究の目的

排出ガス規制の強化に対応するためディーゼル車に装着される後処理装置(CR-DPF、NSR)に対するオイル成分(アッシュ*、S、P)の影響を把握し、オイル側からの対応策に必要な知見を得る



*オイル添加剤に由来する金属(Ca、Zn等)の酸化物、灰分



全体計画

検討項目		スケジュール				
がなりた。	2002	2003	2004	2 005	2006	
1)CR-DPFに及ぼすオイルアッシュの影響						
・台上走行試験						
-アッシュ量の影響, 3水準/6万km	•	☆技	術報告	書		
- 低アッシュ油 、10万km		-				
-燃料S 量の影響		-				
・解析試験		-	SA SA	E F&L	発表/6月	
-試験条件、オイル組成の影響			\Rightarrow	技術報	告書	
2)NSRに及ぼすオイルS、Pの影響					果発表会	
・台上走行試験				(4	!間まとめ 	
・排出特性調査					····•	
(実験室的評価による事前検討)					^\ 技術報台	
					(最終ま	



CR-DPFに及ぼすオイルアッシュの影響

1. 台上走行試験

2.解析試験



台上走行試験の試験条件

- エンジンは長期規制に対応した6.9L直噴エンジン
- DPFには前段に酸化触媒、後段のDPFにも酸化触媒を担持 したCR-DPFを使用
- 最高出力点での定常運転(2700rpm/全負荷)で、DPF目詰まりによる圧力損失を評価

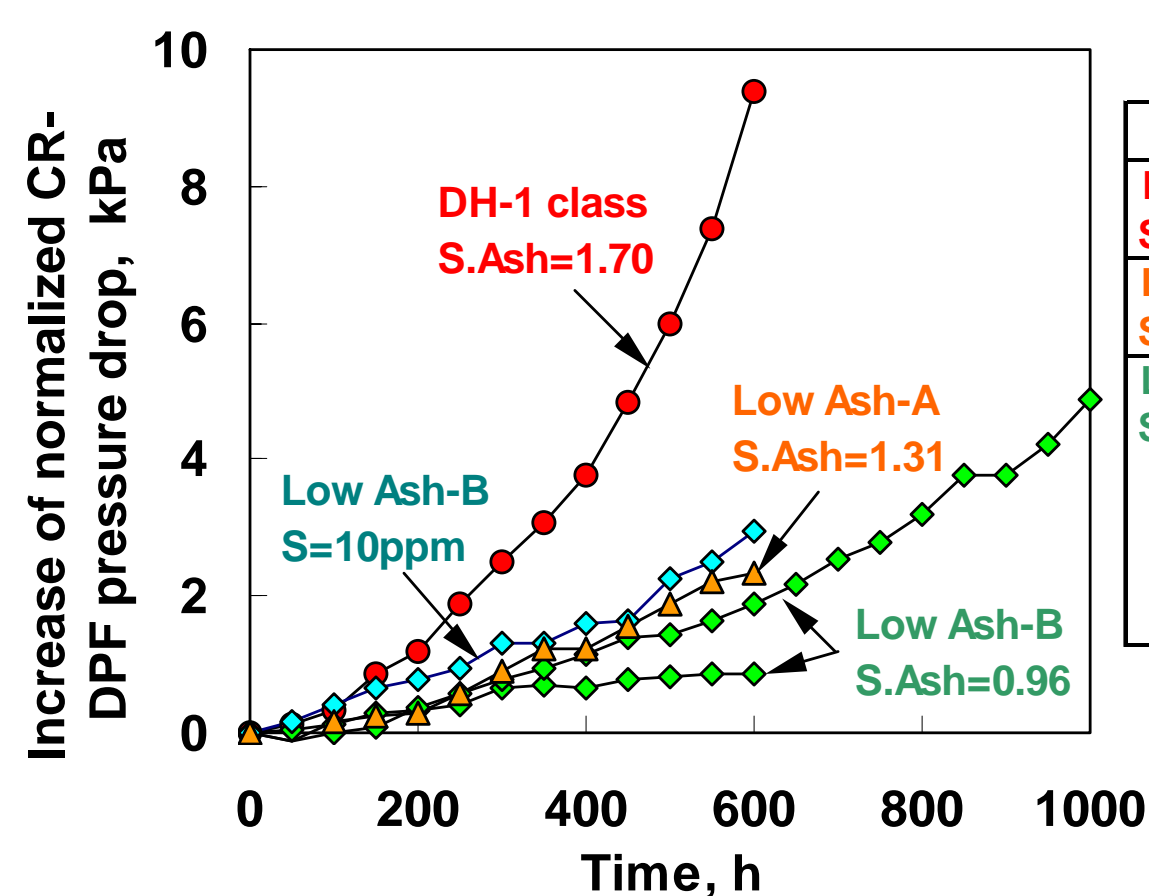
Test No.	Oil	Fuel sulfur	Test duration	
1	DH-1 class	S=50ppm	600h	
I	(S.Ash*=1.70)	S=30ppiii	00011	
2	Low Ash-A	S=50ppm	600h	
Z	(S.Ash=1.31)	3=30ppiii	00011	
3	Low Ash-B	S=50ppm	600h	
3	(S.Ash=0.96)	3=30ppiii	00011	
4	Low Ash-B	S=50ppm	1000h	
4	(S.Ash=0.96)	3=30ppiii	100011	
5	Low Ash-B	S=10ppm	600h	
	(S.Ash=0.96)	3-10ppiii	00011	

*Sulfated Ash(硫酸灰分)



CR-DPF 圧力損失の経時変化

総じて、低灰分油(S.Ash=1.31%、0.96%)では、CR-DPFの圧力 損失が低く推移している

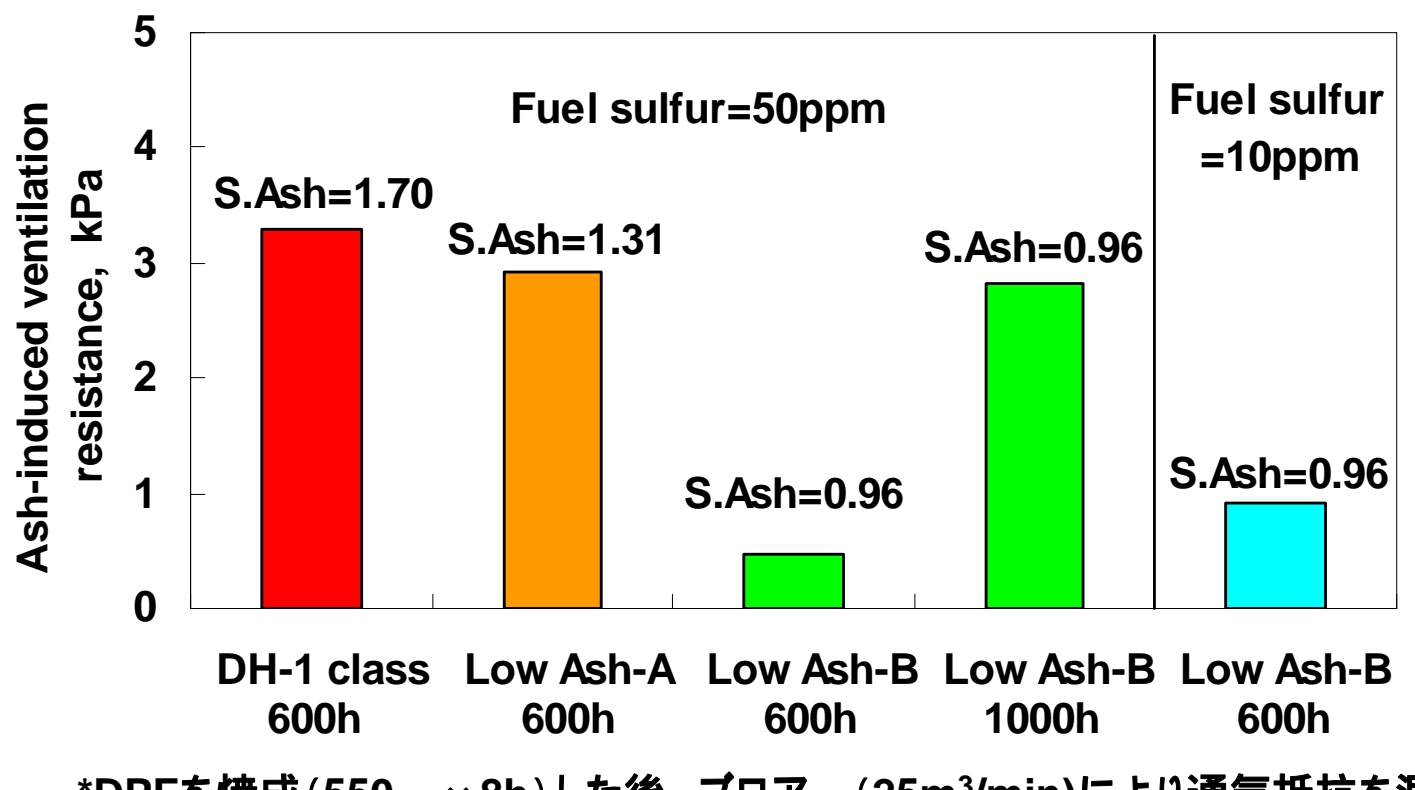


Oil	Fuel S	Oil consumption
DH-1 class	S=50ppm	16147g/600h
S.Ash=1.70		(27g/h)
Low Ash-A	S=50ppm	14443g/600h
S.Ash=1.31		(24g/h)
Low Ash-B	S=50ppm	17899g/600h
S.Ash=0.96		(30g/h)
	S=50ppm	36966g/1000h
		(37g/h)
	S=10ppm	17603g/600h
		(29g/h)



DPFの通気抵抗比較

- 低灰分油ほどDPFの通気抵抗は小さくなるが、運転時間が長くなると、その値は大きくなる
- 燃料S分を50ppmから10ppmに低減しても、DPFの通気抵抗は ほとんど変わらない

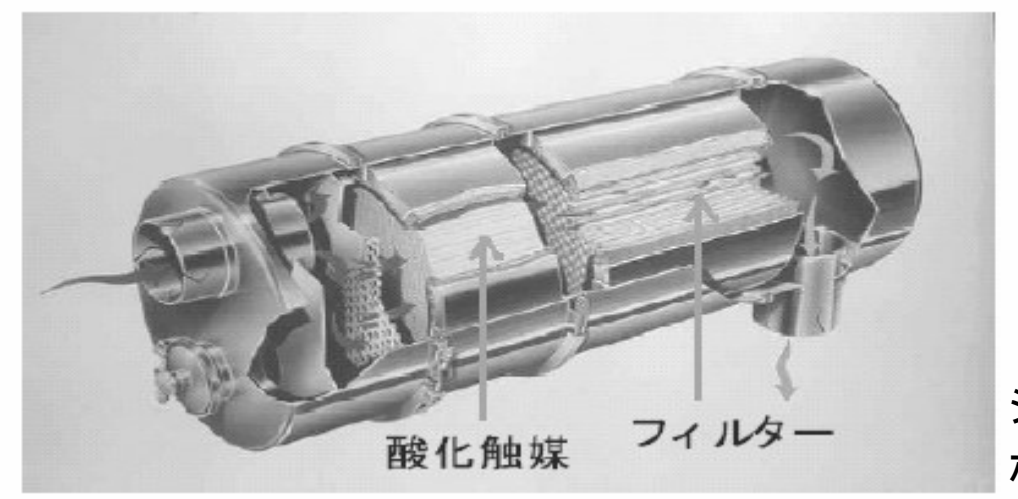


*DPFを焼成(550 ×8h)した後、プロアー(25m³/min)により通気抵抗を測定

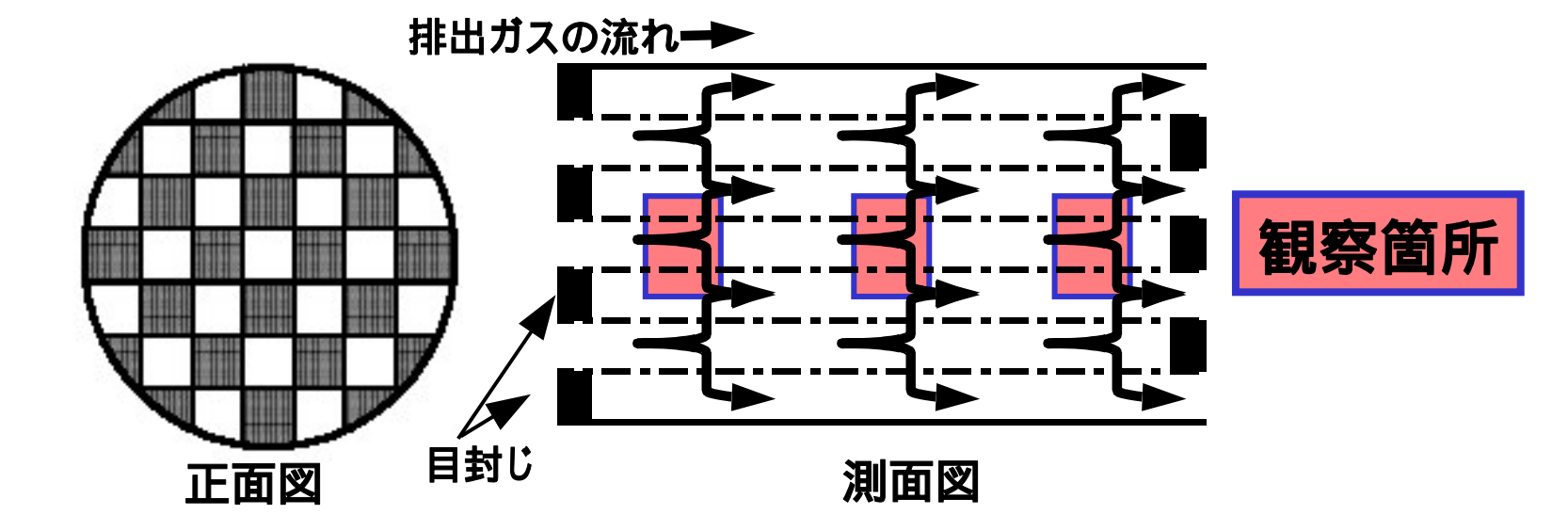


DPFの顕微鏡観察

DPFを切断し、上流、中流、下流でのアッシュ堆積状態を観察



ジョンソンマッセー社 ホームページより転載





観察結果(その1)

通気抵抗の大きいものはDPF壁面に堆積しているアッシュも多い

~ <u></u>		V 1 0 0 7 10 D1 1			
	DH-1 class S.Ash=1.70 600h/S=50ppm	Low Ash-A S.Ash=1.31 600h/S=50ppm	Low Ash-B S.Ash=0.96 600h/S=50ppm	Low Ash-B S.Ash=0.96 1000h/S=50ppm	Low Ash-B S.Ash=0.96 600h/S=10ppm
Inlet					
Middle					
Outlet					

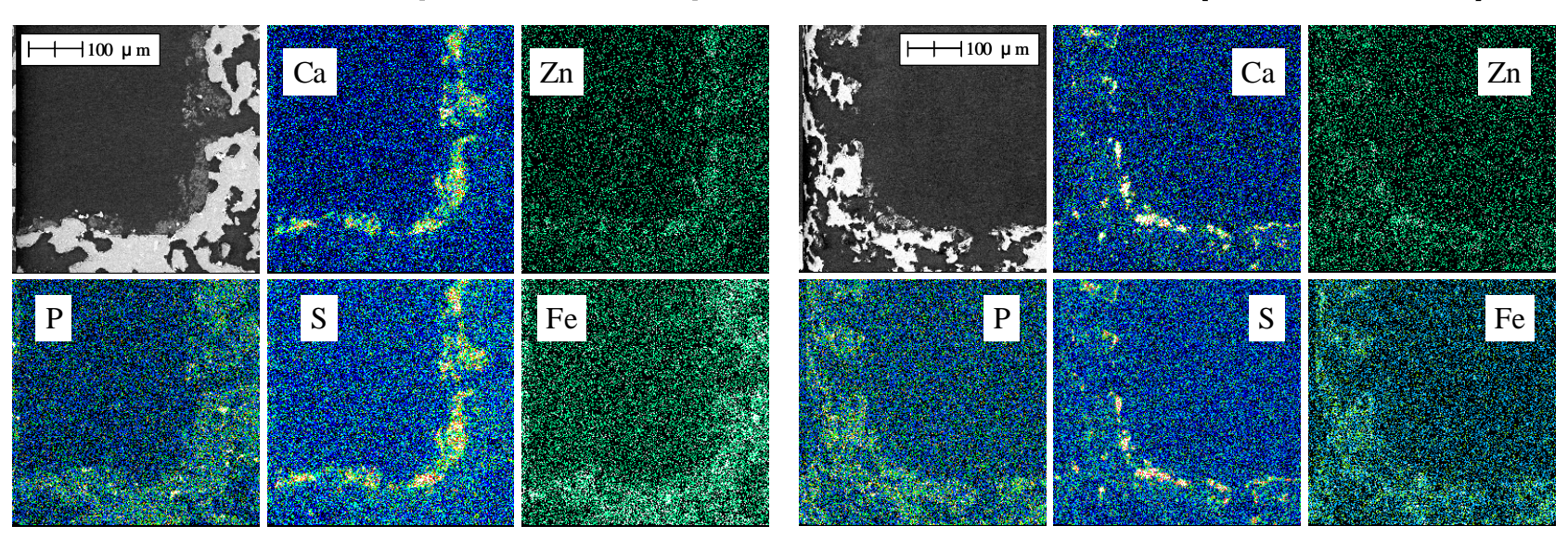


観察結果(その2)

DPF堆積物の主成分は、CaとSである

Low Ash-A(S.Ash=1.31)

Low Ash-B(S.Ash=0.96)



Center-middle section



オイルアッシュの成分分析

燃料S量10ppmの場合も含め、いずれの場合もDPF に堆積したオイルアッシュは、CaSO4が主体である

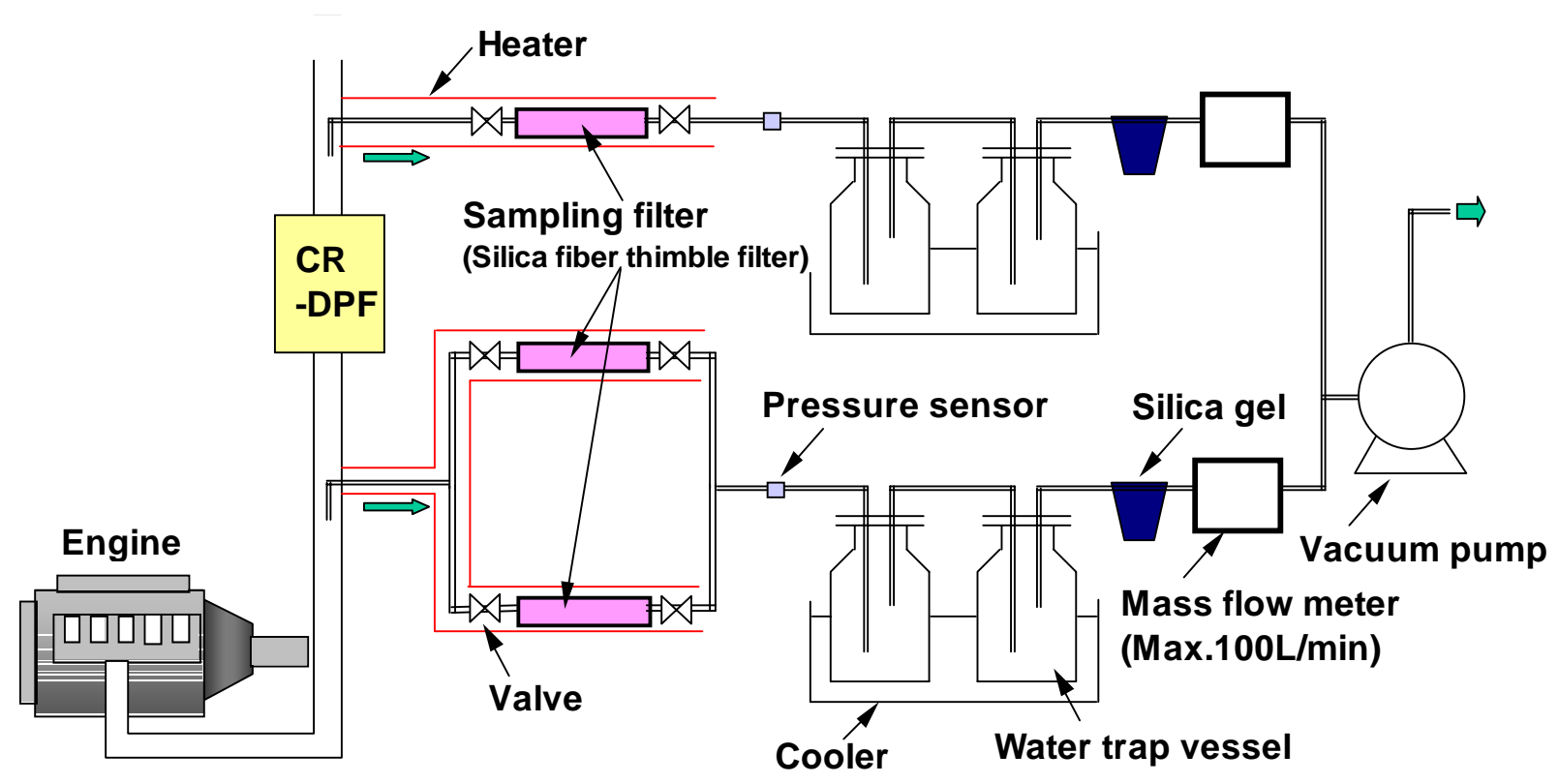
Test No.		1	2	3	4	5
	Test oil	DH-1class	Low Ash-A		Low Ash-B	Low Ash-B
Test	1001011	S.Ash=1.70	S.Ash=1.31	S.Ash=0.96	S.Ash=0.96	S.Ash=0.96
Condition	Fuel sulfur	50ppm	50ppm	50ppm	50ppm	10ppm
	Duration	600h	600h	600h	1000h	600h
	CaSO ₄	75±6	66±6	65±14	58±8	62±8
Ash	CaCO ₃	(2±1)	(3±1)	(3±3)	(3±2)	(3±2)
component*,	Zn(PO ₃) ₂	15±3	21±6	(24±9)	(23±8)	(20±5)
mass%	ZnSO ₄	(2±1)	(5±3)	(<1)	(5±2)	(9±3)
	ZnO	(5±2)	(5±3)	(9±3)	(11±5)	(6±3)

*() shows the component estimated by XPS



解析試験の試験方法

- CR-DPF前後で、排出ガス中の金属量を元素毎に定量し、 その差から、CR-DPFでの各金属の捕捉率を算出
 - ➡短時間で各種パラメーターの影響を評価できる
- エンジン及びCR-DPFの仕様は走行試験と基本的に同じ





試験マトリックス

試験条件(DPF仕様、排気温度、燃料S量)、及びオイル組成の影響を評価

Test No.	Operating condition	DPF	Fuel Sulfur	Oil	Object
1		Cordierite D 10.5"×L 12"			Reference*1
2	2700r/min, Full load (Exhaust gas temp. 500 °C)	Cordierite D 10.5"xL 6"	50ppm		DPF size
3		SiC ^{*2} D 10.5"×L 12"	Зорріп	DH-1class	Substrate material
4	2700r/min, 1/2 load (Exhaust gas temp. 350 °C)				Gas temperature
5			0ppm ^{*3}		Fuel sulfur
6		Cordierite		Oil A	
7	2700r/min, Full load	D 10.5"×L 12"		Oil B	
8	(Exhaust gas temp. 500 °C)	D 10.3 XL 12	50ppm	Oil C	Oil formulation
9			Зоррін	Oil D	
10				Oil E	
11				Oil F	

^{*1} Same condition as the engine running test, No.1.

^{*2 11} µ m of mean pore size.

^{*3} Sulfur content <1ppm.



供試油の組成

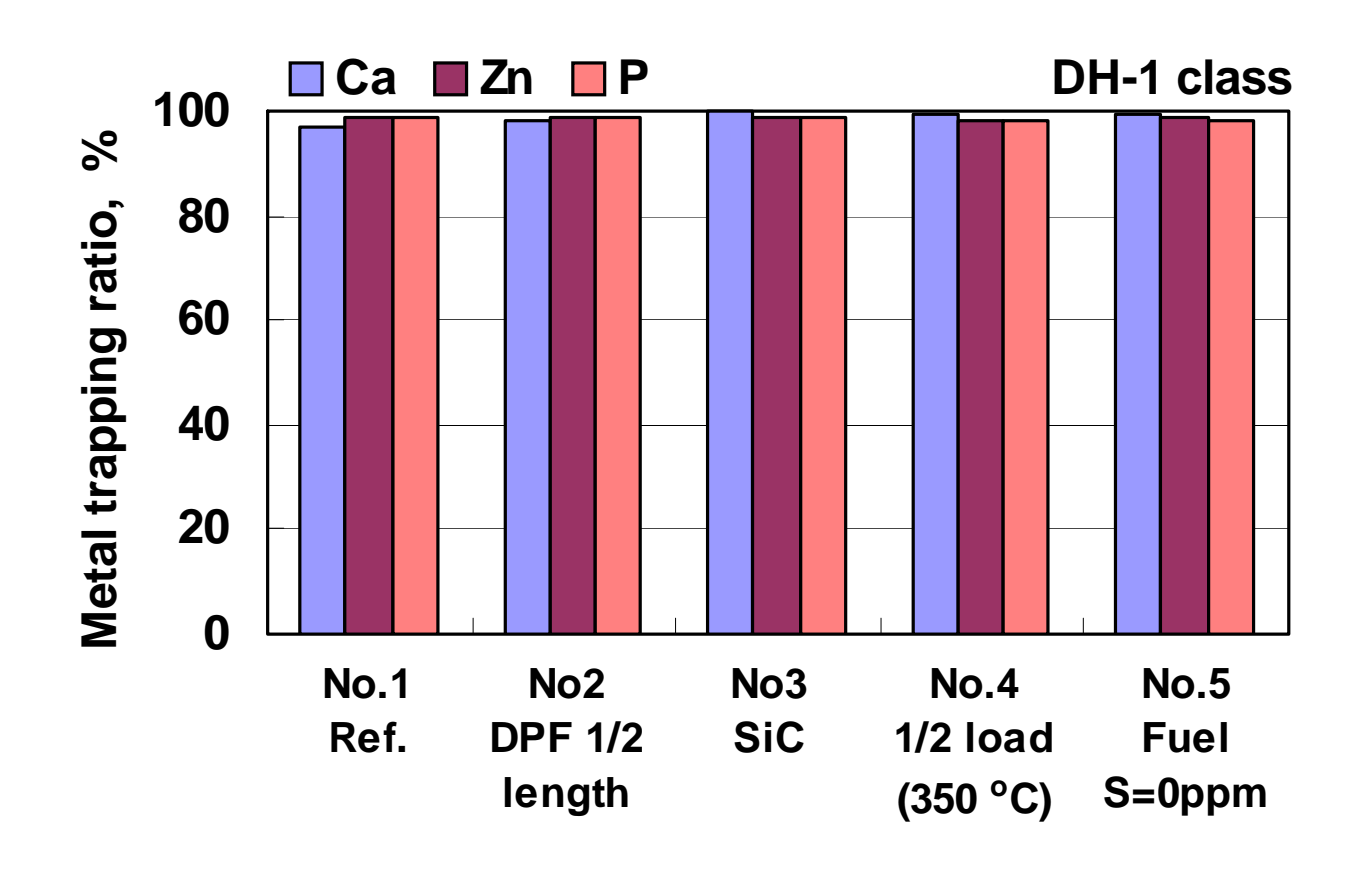
オイル組成としては、金属清浄剤(タイプ、量)の影響を中心に検討

Item		DH-1 class	Oil A	Oil B	Oil C	Oil D	Oil E	Oil F	
SAE visco	sity gra	de	10W-30	10W-30	10W-30	10W-30	10W-30	10W-30	10W-30
Base stock	k type		Mineral	Mineral	Mineral	Mineral	Mineral	Mineral	Synthetic
HOB Ca-		HOB Ca-	Yes	Yes,	_	_	_	Yes,	Yes
		Phenate	162	decrease				decrease	163
		HOB Ca-	_	_	Yes	_	_	_	_
		Sulfonate	_	-	162	-	-	_	-
Main addit	ive	HOB Ca-			_	Yes		_	_
componen		Salicylate	_	-	-	162	-	_	_
•		HOB Mg-				ı	Yes	_	_
including i	metai	Sulfonate	_	-	_			_	_
		N Ca-	Yes	Yes,	Yes	Yes	Yes	Yes,	Yes
		Sulfonate	163	decrease	162	162	162	Increased	163
		Sec.ZnDTP	Yes	Yes	Yes	Yes	Yes	Yes	Yes
Sulfated as	sh	mass%	1.70	0.97	1.71	1.74	1.60	1.69	1.70
NOACK@2	250	mass%	14.2	14.6	13.9	14.3	14.0	14.1	6.0
Elemental	Ca	mass%	0.44	0.22	0.45	0.45	0.19	0.44	0.44
analysis	Zn	mass%	0.14	0.13	0.13	0.14	0.13	0.13	0.14
	Р	mass%	0.12	0.12	0.12	0.12	0.12	0.12	0.13
	Mg	mass%	<0.001	<0.001	<0.001	<0.001	0.16	<0.001	<0.001
	Мо	mass%	<0.001	<0.001	<0.001	<0.001	<0.001	<0.001	<0.001
	S	mass%	0.43	0.39	0.37	0.37	0.42	0.43	0.33



試験条件の影響

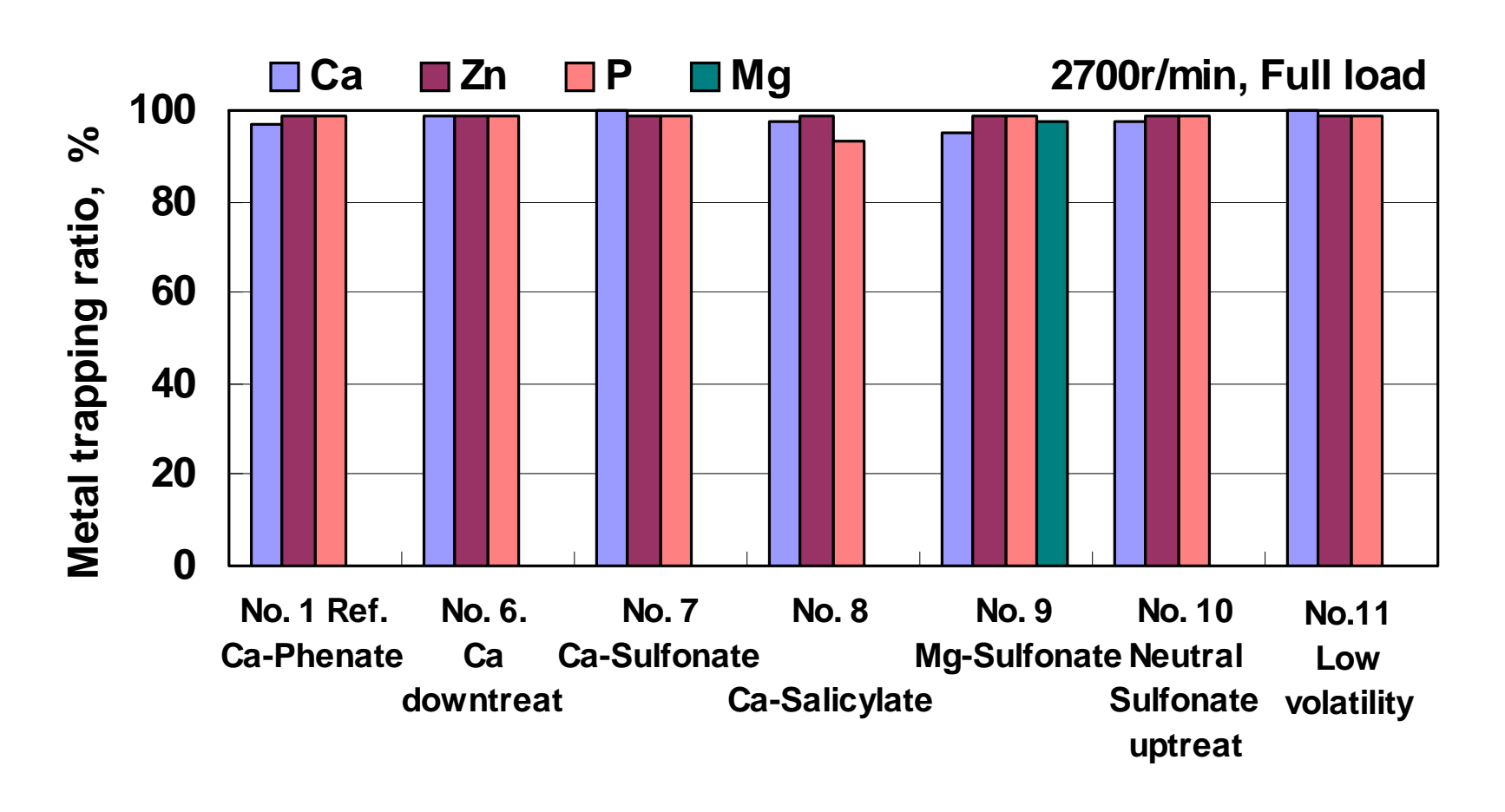
DPFサイズ、材質、排気温度、燃料S量に拘わらず、オイル由来の金属は、ほとんどすべてCR-DPFで捕捉されている





オイル組成の影響

オイル組成が変わっても、オイル由来の金属は、95%以上が CR-DPFで捕捉されている





CR-DPFに及ぼすオイルアッシュの影響 (まとめ)

硫酸灰分の少ないオイルは、DPFでのアッシュ 堆積量を低減し、圧損上昇を緩和させることから、 DPFメンテナンス期間の延長に寄与し得る



低灰分ディーゼルエンジン油規格 「JASO DL-1/DH-2」*に反映

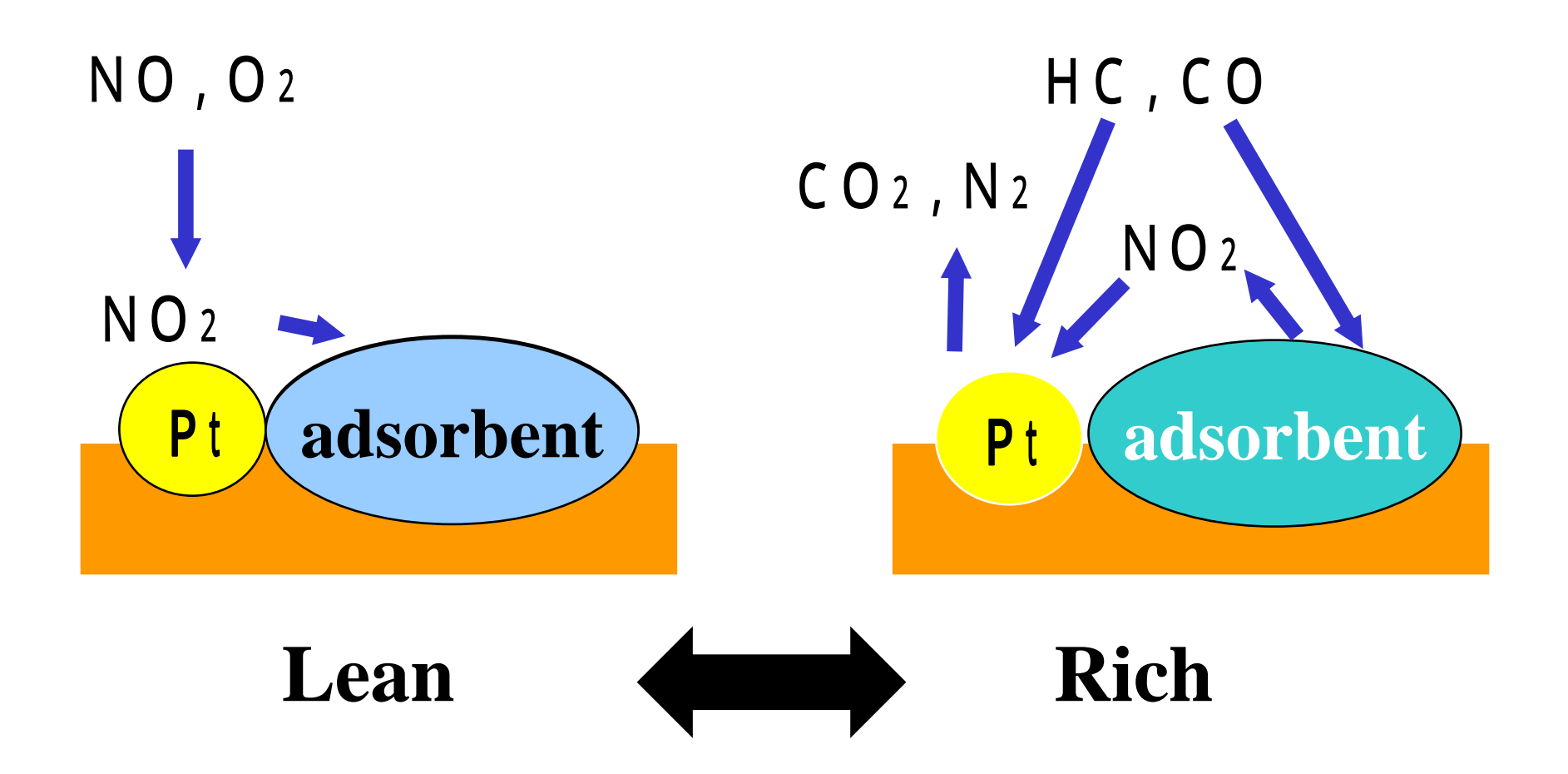
*2005年10月より市場導入



NOx吸蔵還元触媒(NSR)に及ぼす オイルS, Pの影響

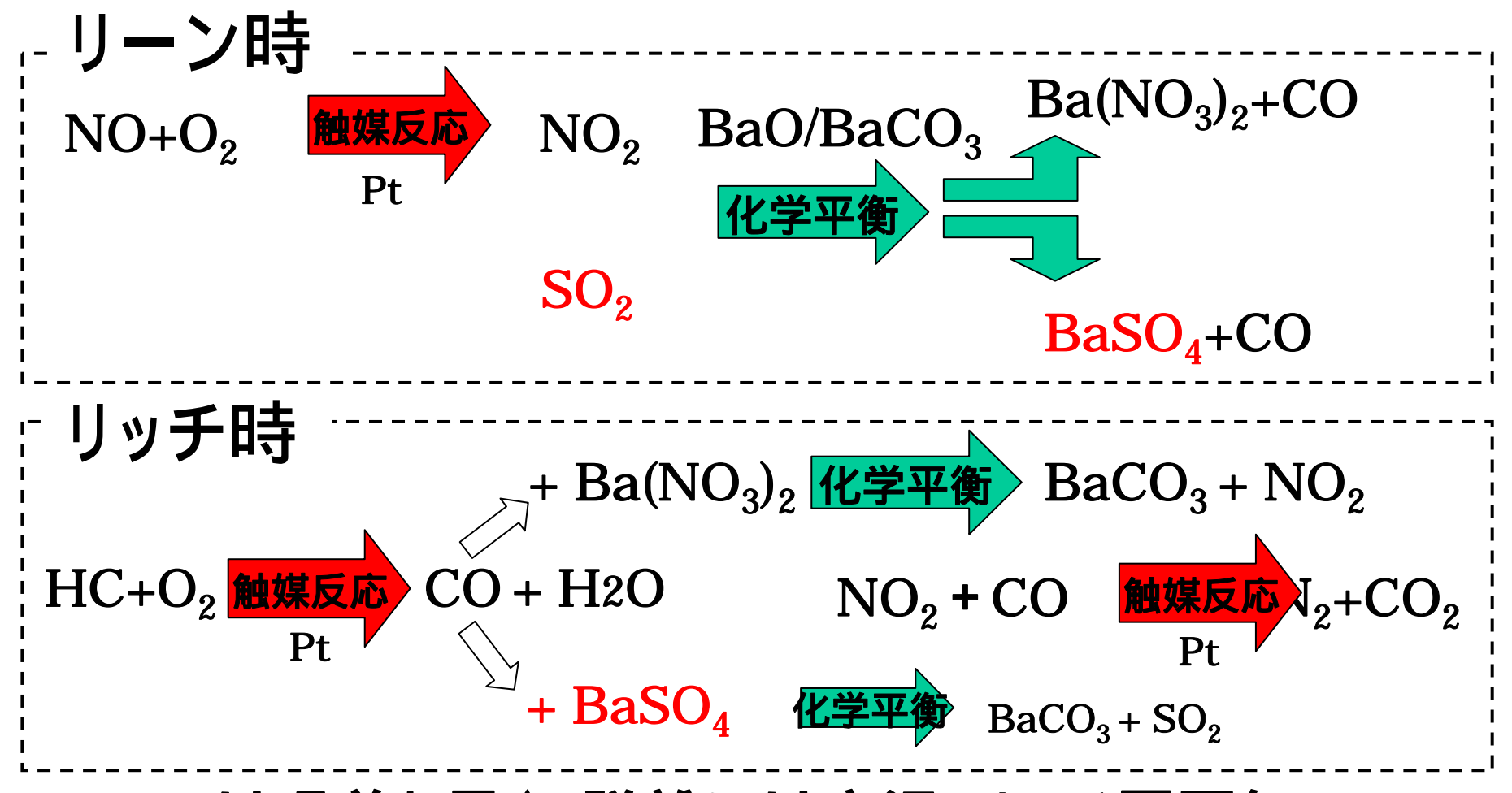


NSRの原理





硫黄による触媒被毒メカニズム



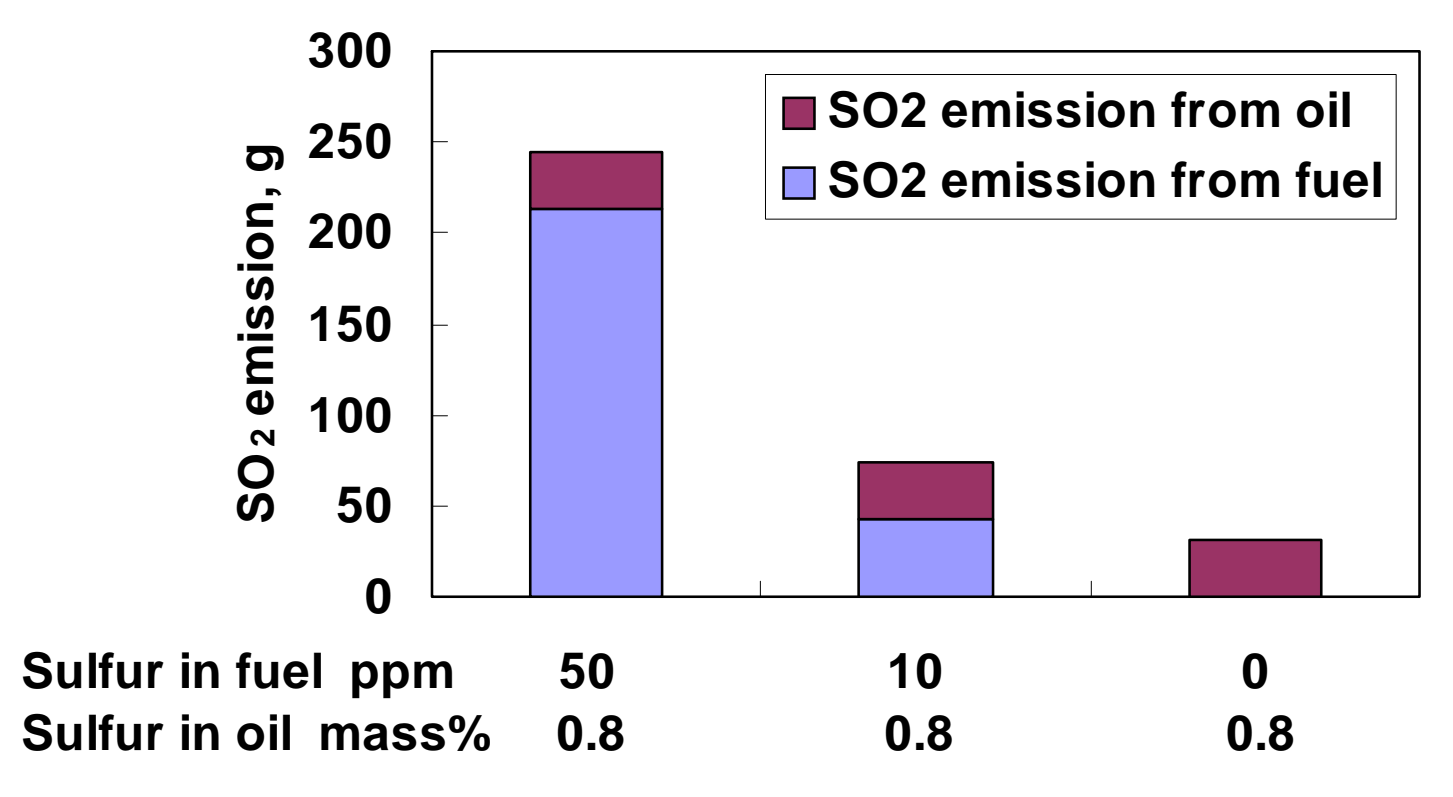
SO₂は吸着し易く,脱離には高温・リッチ雰囲気 (Sパージ運転/硫黄被毒回復制御)が必要



SO₂排出量に対するオイルSの寄与度(推算)

燃料S量が10ppm以下になると、オイルS量の影響は無視できなくなる

⇒ オイルSの影響検討が必要

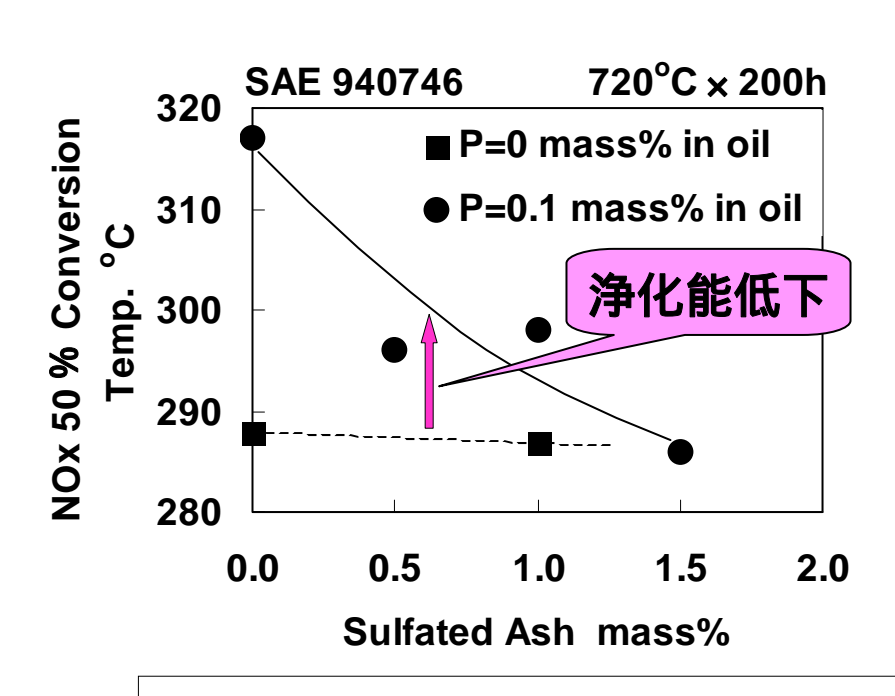


*消費されたオイル中のSがすべてSO2に転換されると仮定して計算

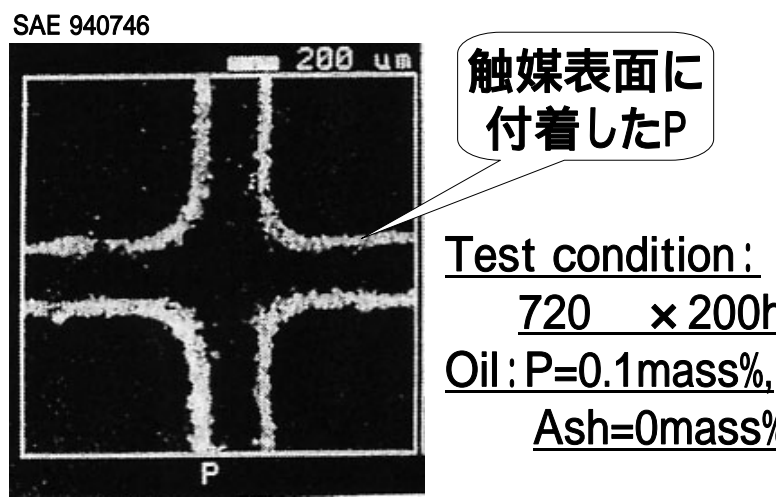


リンの影響(三元触媒の例)

- オイル中のPにより、三元触媒のNOx浄化能は低下
- オイルの硫酸灰分が少なくなると、その影響は大



原因はP化合物による触媒表面の被覆 と考えられている。



Test condition: × 200h

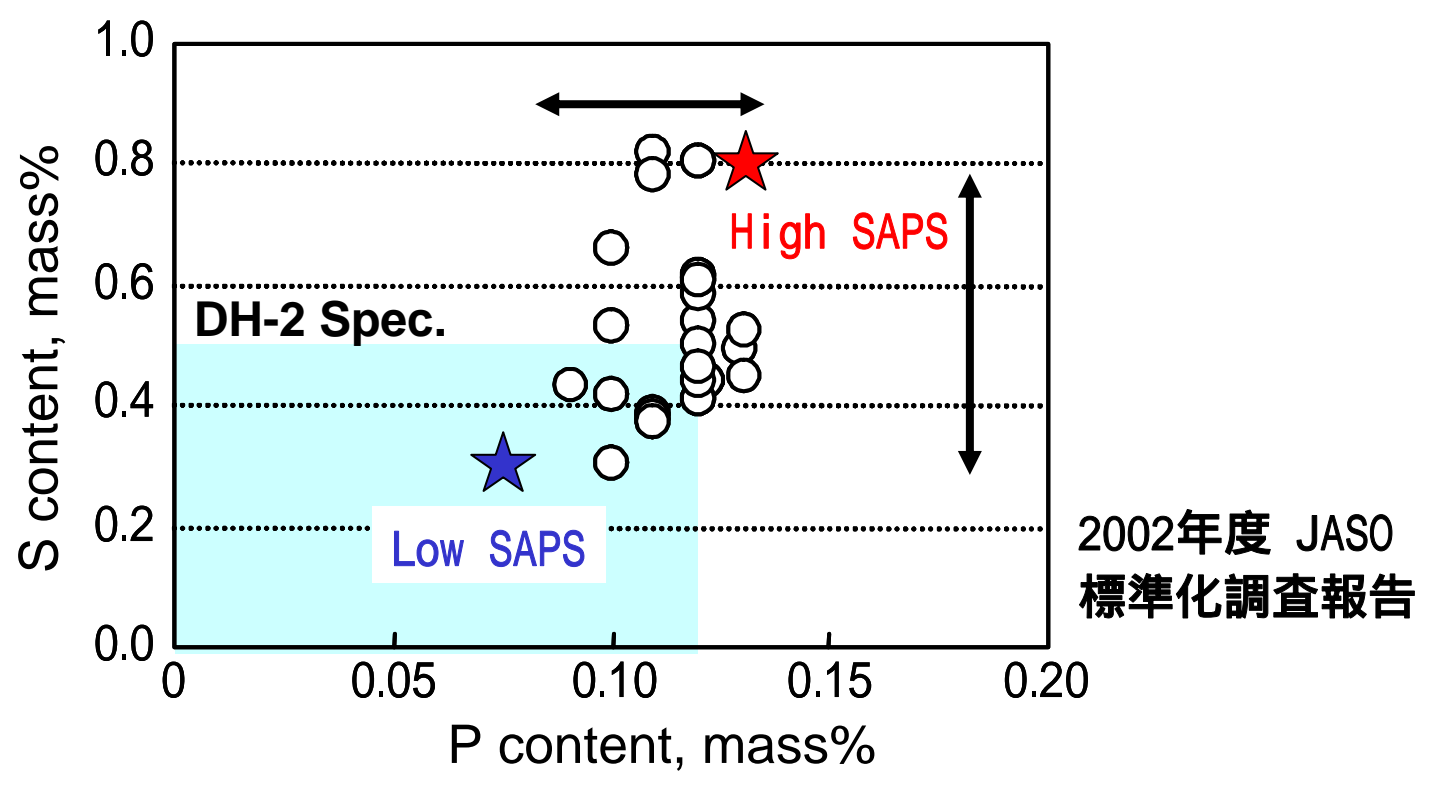
Ash=0mass%

NSRの場合も、同様なメカニズムによる浄化能低下が 起り得る。



走行試験の供試油設定

市販ディーゼル油(JASO DH-1)のS量、P量を基に、供試油としてHigh SAPS*油とLow SAPS油を設定



*SAPS: Sulfated Ash, Phosphate, Sulfurの略



走行試験の試験条件

- エンジンは新短期規制に適合した4L直噴コモンレールPM・NOx同時低減型触媒を搭載
- 2200rpm/115Nmの定常運転で排ガスのNOx浄化率を評価但し、硫黄の影響を加速するために、Sパージ(硫黄被毒回復のための燃料噴射制御)をOFF

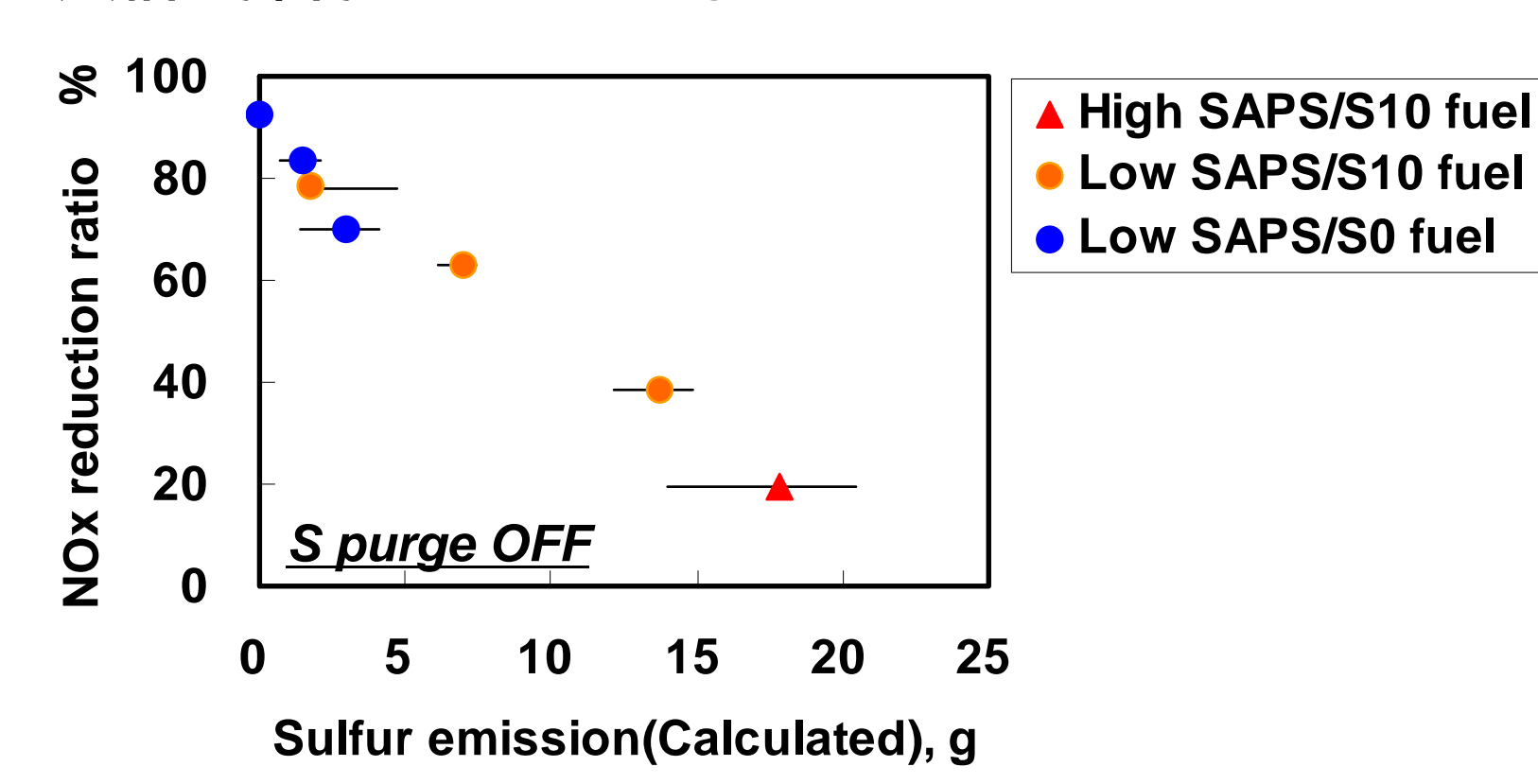
Test No.	Fuel Sulfur	Oil	S (%)	P(%)	S.Ash (%)
1	10nnm	Hish SAPS	0.8	0.13	1.8
2	10ppm	Low SAPS	0.36	0.075	0.9
3		Hish SAPS	0.8	0.13	1.8
4	*	Low SAPS	0.36	0.075	0.9
5	0ppm	Low SAPS+ZnDTP	0.8	0.3	1.1 ~ 1.2
6	Low SAPS+High S Basestock		0.8	0.075	0.9

^{*} Sulfur content <1ppm.



S排出量とNOx浄化率との関係

- NOx浄化率は、燃料及びオイルの消費量から計算したS排出量が多くなるに従い、低下する傾向が認められる
- 但し、実際の運転ではSパージにより、NOx浄化率の低下は 大幅に抑制されるものと考えられる





NSRに及ぼすオイルS、Pの影響 (中間まとめ)

・ 硫黄の影響を加速した試験条件では、燃料とオイルの消費量から計算したS排出量の増加に伴い、NSRのNOx浄化率が低下する傾向が認められた

現時点ではNSRに対するオイルPの影響は明らかになっていない。今年度実施する走行試験を通して、影響を明らかにしていく



今後の計画

NSRに及ぼすオイルS、Pの影響検討を継続

- ・触媒被毒に及ぼすオイルPの影響
- ・運転条件、オイル組成の違いによる オイルS、Pの排出特性を調査



End of presentation



以降、参考資料

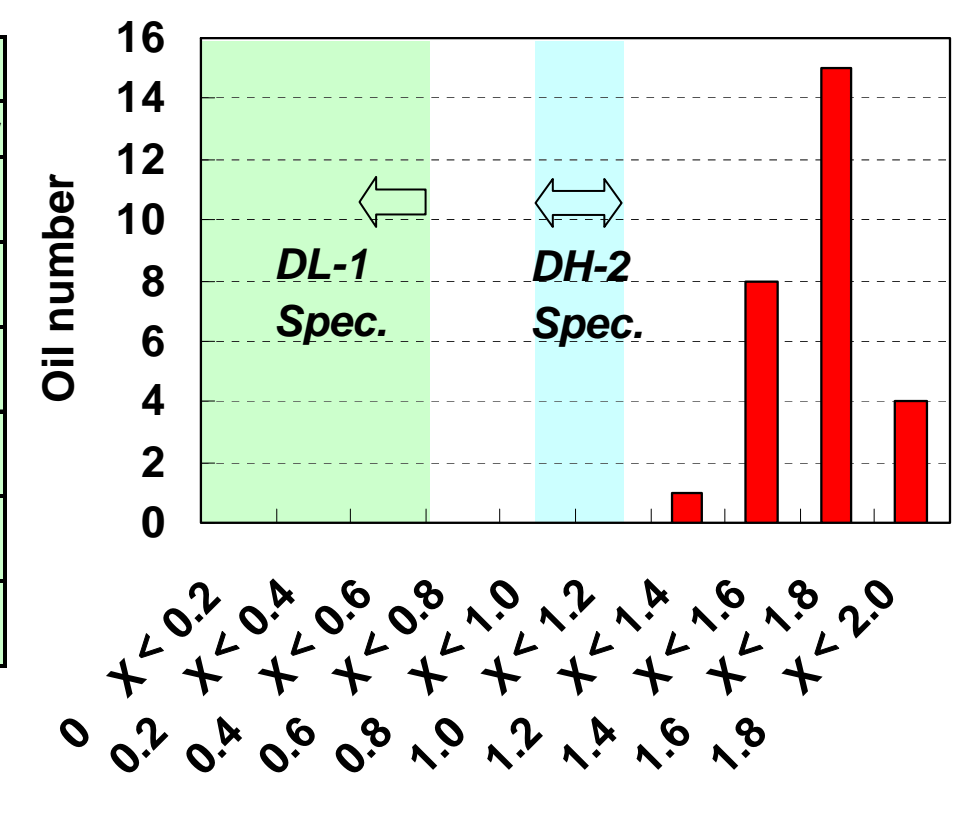


JASO DH-1と DH-2/DL-1との比較

JASO DH-1とDH-2/DL-1との 主な相違点

	DH-1	DH-2	DL-1
	Truck	& Bus	Passenger
Sulfated ash mass%	No spec.	1.0±0.1	0.6 max.
Base number mgKOH/g	10.0 min.	5.5 min	-
Sulfur mass%	No spec.	0.5 max	0.5 max
Phosphorus mass%	No spec.	0.12 max	0.10 max
Chlorine ppm	No spec.	50 max.	50 max.
Fuel economy improvement %	No spec.	No spec.	2.5 min.

<u>市販DH-1油の硫酸灰分と</u> <u>DH-2/DL-1規格</u>



Sulfated ash(X) mass%



供試エンジン

Engine type		Water-cooled 4 cycle diesel engine
Cylinder arrangemen	t	L6
Type of combustion	chamber	Direct injection
Type of aspiration		Turbocharger inter-cooler
Displacement	cm ³	6,925
Maximum power	kW	177 at 2,700r/min
Maximum torque	Nm	667 at 1,400r/min
Bore x Stroke	mm	108 x 126
Compression ratio		18
EGR system		without



CR-DPF の仕様

Item	Unit	Specification of CR-DPF		
		Oxidation catalyst	Catalyst coated DPF	
Catalyst	-	Pt-based	Pt-based	
Substrate	-	Cordierite	Cordierite	
Diameter	mm(in)	266.7(10.5)	266.7(10.5)	
Length	mm(in)	152.4(6)	304.8(12)	
Volume	L	8.5	17.0	
Cell density	cell/cm ² (cell/in ²)	62(400)	46(300)	
Wall thickness	mm(in)	0.15(0.006)	0.31(0.016)	
Porosity	%	-	59	
Mean pore size	x 10 ⁻⁶ m		24	



供試油の性状

Item		Unit	DH-1 class	Low Ash-A	Low Ash-B
SAE viscosity	y grade	-	10W-30	10W-30	10W-30
Base stock ty	/pe	-	mineral	mineral	mineral
Main additive	•		Ca-Phenate,	Ca-Phenate,	Ca-Phenate,
component in	ncluding	-	Ca-Sulfonate,	Ca-Sulfonate,	Ca-Sulfonate,
metal	metal		Sec.ZnDTP	Sec.ZnDTP	Sec.ZnDTP
Sulfated ash	(S.Ash)	mass%	1.70	1.31	0.96
Elemental	Ca	mass%	0.444	0.300	0.231
analysis	Zn	mass%	0.135	0.148	0.120
	Р	mass%	0.120	0.134	0.110
	Mg	mass%	<0.001	<0.001	<0.001
	Мо	mass%	<0.001	0.011	0.011
	S	mass%	0.43	0.45	0.47



燃料の性状

- 燃料: JIS No.2 相当

Items		Unit	Test fuel			Mathad
			S=50ppm(AV)	S=10ppm	S=0ppm	Method
Density (15)		g/cm ³	0.8283	0.8275	0.8265	JIS K 2249
Flash point			65.8	73.0	107.0	JIS K 2265
Distillation	10 vol%		199.4	219.5	271.0	JIS K 2254
	50 vol%		279.7	287.5	291.0	
	90 vol%		338.0	337.0	317.0	
Pour point			-13.5	-15	-20	JIS K 2269
CFPP			-10.5	-5	-18	JIS K 2288
10% Carbon residue		mass%	<0.01	<0.01	<0.01	JIS K 2270
Cetane index			57.0	60.5	67.8	JIS K 2280
Kinematic viscosity @30		mm²/s	3.485	3.977	4.854	JIS K 2283
Sulfur		mass ppm	37	7	<1	JIS K 2541

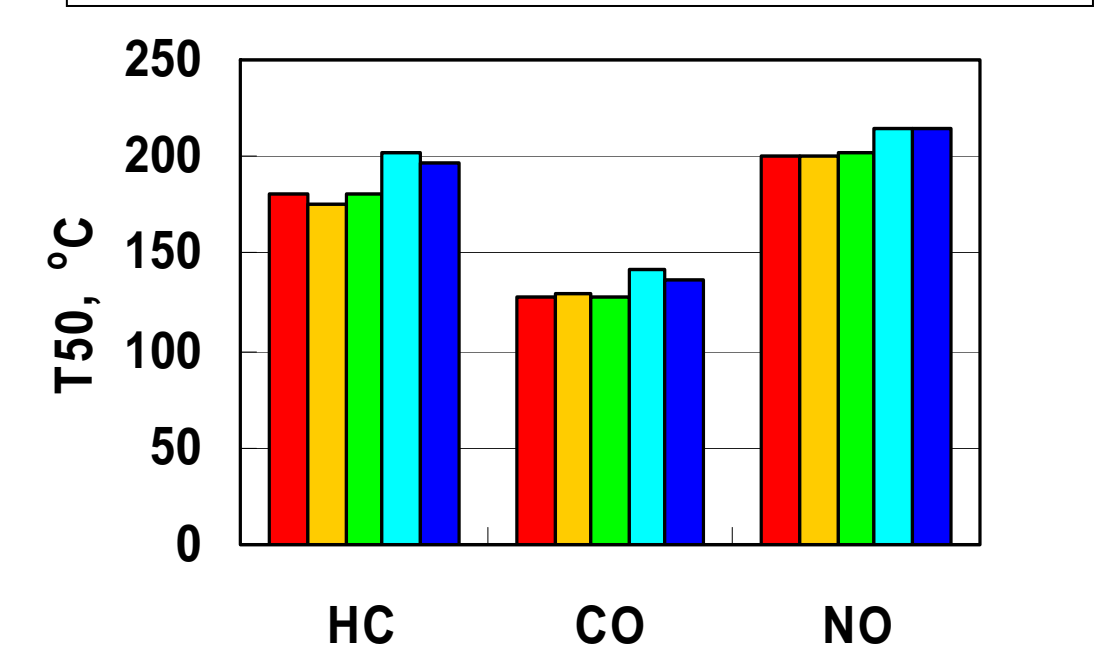


走行試験後の酸化触媒性能比較

試験後の酸化触媒性能は、いずれの試験でもほぼ同等。

Item		Condition		
Element	C ₃ H ₆	270ppmC		
of model	O ₂	10%		
gas	NO	400ppm		
	CO	200ppm		
	CO ₂	8%		
	H ₂ O	4.50%		
	N ₂	Balance		
Core size		D 25.4mm×L 76.2mm		
Space ve	locity	40,000/h		
Heating r	ate	15°C/min (90 to 500°C)		

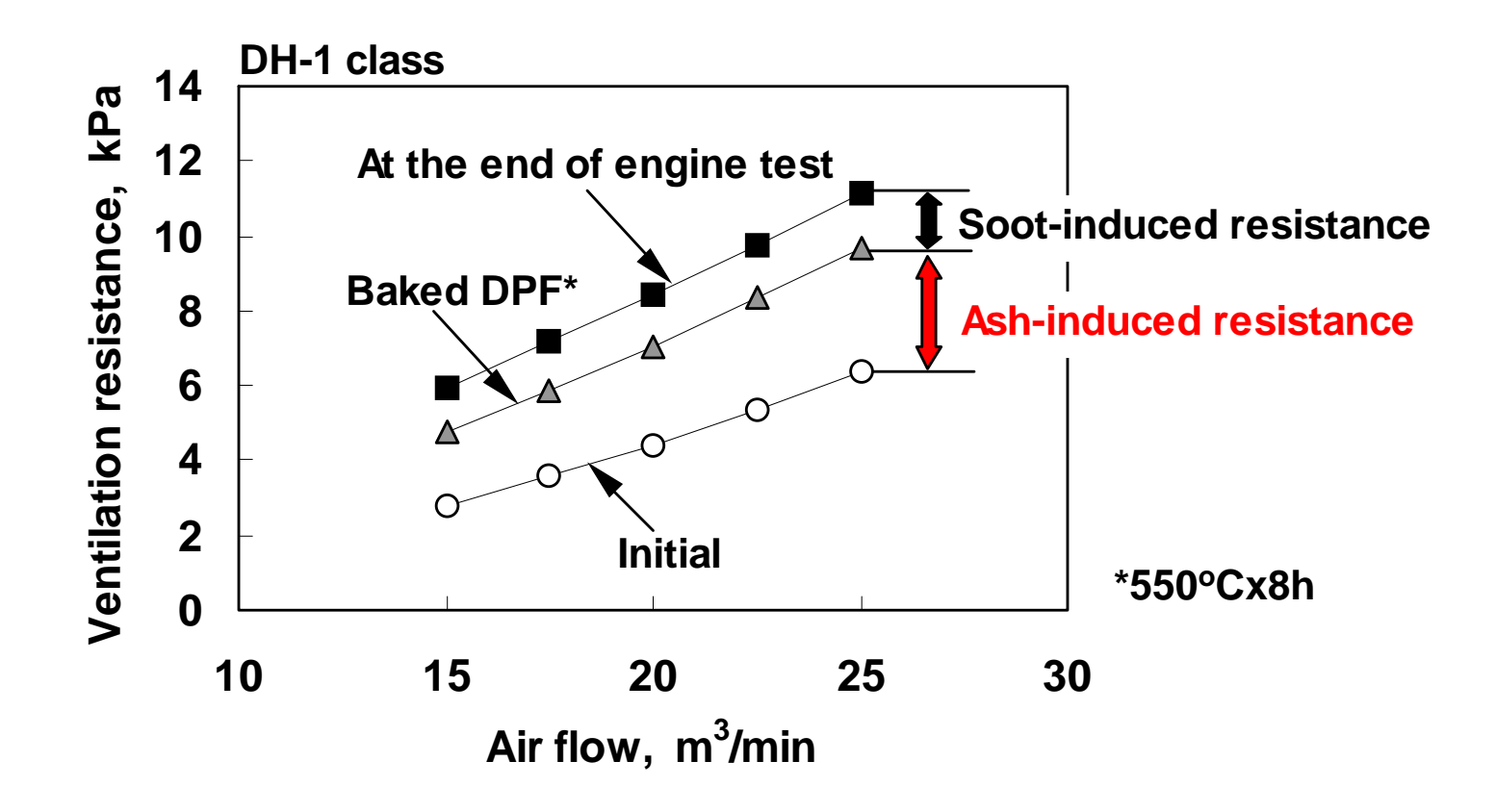
DH-1 class(S.Ash=1.7) Low Ash-A(S.Ash=1.31) Low Ash-B(S.Ash=0.96) Low Ash-B(S.Ash=0.96) 1000h Low Ash-B(S.Ash=0.96) S=10ppm





DPF圧損増加の要因解析

- DPFを焼成(550 × 8h)した後にブロアーで計測した通気抵抗は、焼成により大きく低下。
- DPFに堆積したスーツも圧損に影響を与えている。





逆洗エアブローによるアッシュ除去効果

- 逆洗エアブローにより下流側のアッシュが除去された。
- 市場でのDPFメンテナンスに対しての逆洗エアブローの効果 については、更に検討が必要。

DH-1 class(S.Ash=1.70)

	Before	After reverse air blow
Inlet		
Outlet		

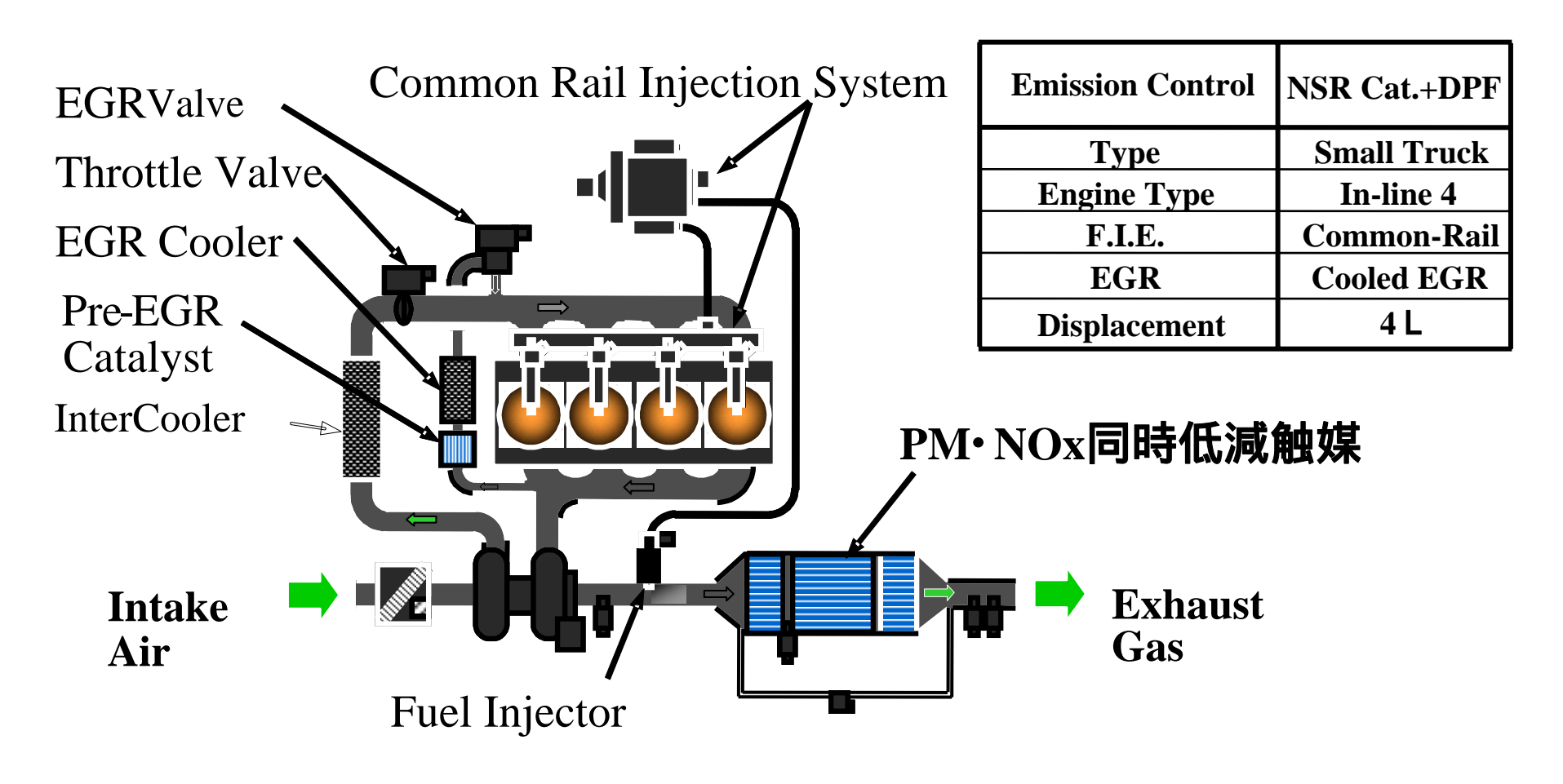


SiC担体の仕様

Item	Unit	Specification		
		Oxidation catalyst	Catalyst coated DPF	Ref.
Catalyst	-	Pt-based	Pt-based	Pt-based
Substrate	-	Cordierite	SiC	Cordierite
Diameter	mm(in)	266.7(10.5)	266.7(10.5)	266.7(10.5)
Length	mm(in)	152.4(6)	300	304.8(12)
Volume	L	8.5	17.0	17.0
Cell density	cell/cm ² (cell/in ²)	62(400)	46(300)	46(300)
Wall thickness	mm(in)	0.15(0.006)	0.23(0.012)	0.31(0.016)
Porosity	%	-	-	59
Mean pore size	x 10 ⁻⁶ m	-	11	24



供試エンジン





供試油の性状

Item	Unit	Hish SAPS	Low SAPS	
Viscosity Grade	-	10W-30	10W-30	
Kinemtic viscosity	40	mm²/s	69.46	66.47
	100	mm²/s	10.36	10.29
Viscosity index		-	135	141
TAN		mgKOH/g	3.06	1.85
TBN	HCI	mgKOH/g	9.35	5.43
	HCIO ₄	mgKOH/g	13.1	7.57
Sulfated ash	Sulfated ash		1.68	0.83
Elemental analysis	Ca	mass%	0.43	0.20
	Zn	mass%	0.14	0.08
Р		mass%	0.11	0.07
	Mg	mass%	<0.001	<0.001
Мо		mass%	<0.001	0.01
	S	mass%	0.78	0.33



燃料性状

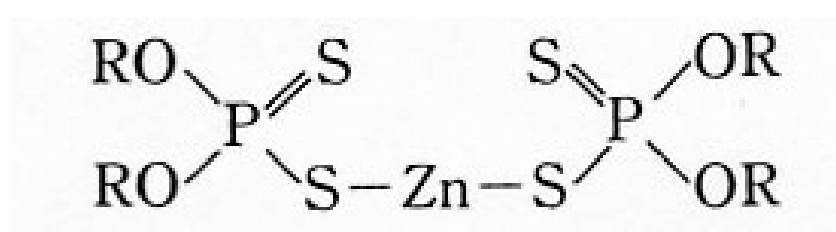
Items		Unit	Test fuel			Method
		Offit	S10	S10A	S0	Metriou
Density (Density (15)		0.8275	0.8233	0.8220	JIS K 2249
Flash p	oint		73.0	76.0	80.0	JIS K 2265
	10 vol%		219.5	215.5	216.5	
Distillation	50 vol%		287.5	269.0	261.5	JIS K2254
	90 vol%		337.0	311.5	303.0	
Pour pour pour pour pour pour pour pour p	oint		-15.0	-22.5	-27.5	JIS K 2269
CFPP			-5	-22	-26	JIS K 2288
10% Carbon	residue	mass%	<0.01	<0.01	<0.01	JIS K 2270
Cetane index			60.5	58.3	57.2	JIS K 2280
Kinematic viscosity (@30)		mm ² /s	3.977	3.320	3.145	JIS K 2283
Sulfu	ır	mass ppm	7	7	<1	JIS K 2541

S10:本試験(200時間)用軽油(硫黄濃度7ppm) S10A:再試験(100時間)用軽油(硫黄濃度7ppm) S0:本試験(200時間)用軽油(硫黄濃度<1ppm)



硫黄やリンを含有する潤滑油成分

			硫黄(S)	りん(P)
基油	Gr.I (通常の	鉱油)		-
添加剤	ZnDTP 耐摩耗剤 酸化防止剤			
	スルフォネート フェネート	清浄剤		-
	MoDTC	摩擦調整剤		-



R:アルキル基

ZnDTPの構造



試験条件

● 運転条件:

回転数	2200 r/min
トルク	115 Nm
冷却水出口温度	80 (油温は約 91)
排気温度 (吸蔵De-NOx触媒入口)	350
運転時間	200 h
オイル交換	無し
燃料噴射制御	リッチスパイク 有り S パージ(硫黄被毒回復) 無 し

● 評価法:

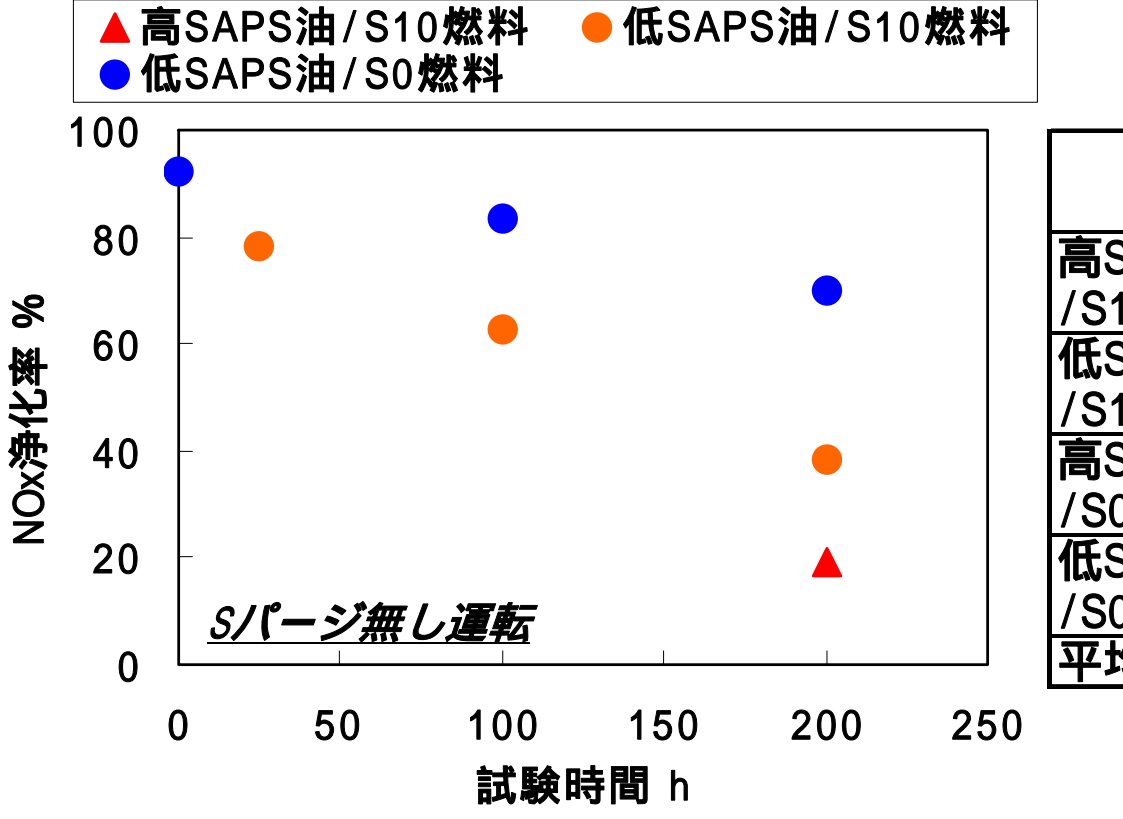
100時間毎にNOx浄化率を計測 走行試験終了後の触媒分析(OEMで実施)

硫黄の影響 を加速



NOx浄化率の経時変化

- 試験時間の経過に従い、NOx浄化率が低下していく傾向が認められる。



	オイル消費量 g/h (燃料分除く)
高SAPS油 /S10燃料	4.67
低SAPS油 /S10燃料	2.03
高SAPS油 /S0燃料	6.10
低SAPS油 /S0燃料	4.83
平均	4.46



オイル消費の解析方法

全オイル消費量を気化オイル消費量と油滴オイル消費量との合計と考える。

$$Kadd = Kv + Km$$
 ... (1)

硫酸灰分の収支は式(2)で表される。

$$dS/dt = -Km \cdot S + Kadd \cdot So$$
 ...(2)

t=0 における硫酸灰分はSoであるから式(2)を積分すると式(3)となる。

$$S = So(1 - Kadd/Km) \exp(-Km \cdot t) \cdot (Kadd/Km) \cdot So \dots (3)$$

における硫酸灰分をS とすると式(3)より、 t

$$S = Kadd/Km \cdot So \dots (4)$$

従って、式(3)は式(5)となる。

$$S = S - (S - So) \exp(-(So/S) \cdot Kadd \cdot t) \dots (5)$$

サンプリング油の硫酸灰分(S)を測定し、S をパラメーターとして最小自乗法に よる解析から、S を求めることができ、式(4)よりKmを、式(1)よりKvを求める ことができる。

Kadd : 単位時間の補給油量とエンジン内油量の比(hr-1)

Kv : 単位時間内気化オイル消費量とエンジン内油量の比(hr-1)

Km : 単位時間内油滴オイル消費とエンジン内油量の比(hr-1)

エンジン内油中の硫酸灰分(mass%)

So 新油の硫酸灰分(mass%)

時間(hr)



オイル消費の中身に対する解析

- オイルの硫酸灰分量をもとにオイル消費量を揮発分と液滴分に分離した結果、今回の試験では、オイルはほぼすべて液滴として消費されていた。
- → 従って、本運転条件では、オイル由来のS排出量が、油中S 量と消費されたオイル量の積で一義的に定義されるものと考える(揮発によるオイル消費が多くなる運転条件では、オイルに含まれる硫黄化合物の蒸発特性や熱分解特性の影響がでてくる可能性がある)。

		高SAPS油 S10燃料	低SAPS油 S10燃料	高SAPS油 S0燃料	低SAPS油 S0燃料
オイル消費量(g/h	4.67	2.03	6.10	4.83
オイル消費の	揮発分	0.4	~ 0	~ 0	~ 0
割合 [*] %	液滴分	99.6	~ 100	~ 100	~ 100



排出特性調査 - 検討内容

オイル由来のS,P,Ca,Zn等の排ガス中濃度を測定し,運転条 件の違いによる排出特性への影響を把握する。

- エンジン:エンジンD
- 試験条件:走行試験と同一条件、及び最高出力条件
- リッチスパイク有り,Sパージ無
- 試験時間: ~50hr(排出ガス成分分析が可能な時間を目安とす
- 燃料: S 0 燃料
- 計測法
 - 触媒前で排ガスをサンプリング
 - ガス状物質(硫黄酸化物,リン酸)は液体捕集し,イオンクロマト で定量
 - 粒子状物質(P,S,Ca,Znの化合物)は円筒ろ紙に捕集し, ICPで定量(DPFの解析試験と同じ方法)



排出特性調査 - 試験マトリックス

No.	供試油	運転条件		実施予定年度
	高SAPS		台上走行試験との比較	
	低SAPS 2A	走行試験	台上走行試験との比較	1147年年
	2A+ZnDTP(Sec.)	と同条件	ZnDTP由来のS,P排出 (台上走行試験との比較)	H17年度
	2A+高S基油		基油由来のS排出 (台上走行試験との比較)	
	2A+ZnDTP(Sec.)		高温条件でのS,P排出	
	2A+ZnDTP(Pri.)	F/F	高温条件でのS,P排出 (ZnDTP熱分解温度の差)	H18年度に実施
	2A+高S基油	F/F	高温条件での 基油由来S排出	を検討中*
	2A+MoDTC		高温条件での MoDTC由来S排出	

^{*}H17年度中に実験室的な評価(NOACK等)を行い、その結果を見て供試油を最終決定する。



硫黄化合物の結合エネルギー

Reference: CRC Handbook of Chemistry and Physics, 72nd Edition (1991 - 1992)

